文章编号: 1009-3850(2004)02-0001-07

## 南迦巴瓦峰地区雅鲁藏布蛇绿混杂岩带 矿物学特征及时代

耿全如1,2,潘桂棠2,郑来林2,孙志明2, 欧春生3、董翰3、王小伟3

(1. 中国地质大学 地球科学学院, 湖北 武汉 430074; 2. 成都地质矿产研究所, 四川 成都 610082; 3. 甘肃地勘局 第三地质矿产勘查院, 甘肃 兰州 730050)

摘要,雅鲁藏布蛇绿混杂带在南迦巴瓦峰地区呈弧形连续分布,主要岩石类型有石英岩和云母石英片岩、绿片岩、斜 长角闪岩、变质辉长岩、变余辉绿岩等。主要造岩矿物中,角闪石属富镁的镁角闪石、镁闪石、非闪角闪石、浅闪角闪 石等: 单斜辉石为富镁的类型, 成分相当于透辉石; 橄榄石为典型的镁橄榄石; 斜长石在角闪岩类中为中长石, 是变 质成因的。利用地质温压计估算出的变质温压条件分别为;  $t = 500 \sim 650 \, ^{\circ}$ C,  $p = 0.75 \sim 0.8 \, \mathrm{GPa}$  相当于角闪岩相变 质作用,发生在47~47Ma左右。晚期经历了低温、高压变质作用,形成高压型的多硅白云母,时代为27~20Ma,与该 区结合带边界阿尼桥断层和米林-鲁朗断层发生强烈走滑有关。地壳加速隆升、剥蚀时期形成的多硅白云母为中、低 压型。

关键词: 南迦巴瓦; 雅鲁藏布蛇绿岩带; 矿物成分; 时代; 西藏 中图分类号: P574.2 文献标识码: A

研究区位于雅鲁藏布大峡谷和喜马拉雅东构造 结地区。该地区近年来已成为地学研究的热点,国 内外专家已发表过不少有见解的论文,在高压麻粒 岩、区域隆升模式和地壳缩短量等方面取得重要进 展[1~8]。

对该区雅鲁藏布蛇绿岩带(IYS, 下同)的研究 始于上世纪70年代[9],至今已取得如下进展。

(1)IYS 在该区的空间分布和物质组成 $[9^{-15}]$ 。 IYS 呈连续的弧形条带展布于南迦巴瓦楔入体和外 侧的冈底斯岛弧带之间,东宽西窄,东部最宽处约 10km, 西部最窄处约2km。该带沿米林、白拉村、纠 忠、鲁郎南和排龙乡、经旁辛、墨脱南延出境(图1)。 带内岩石变质、变形强烈,按产状可分为基质和岩块 (片)两大类。岩块(片)包括蛇绿岩套中的超镁铁 岩、辉绿岩墙、辉长岩、石英(片)岩、大理岩和两侧老 基底片麻岩等。岩块(片)大小不一,大的延伸可大 干50km,小的仅约0.5m;基质是塑性变形十分强烈 的绢云母石英片岩、二云母石英片岩、绿片岩等岩石 组合。

(2)IYS 蛇绿岩的形成环境。常量元素、微量和 稀土元素示踪结果表明,蛇绿岩并非形成于大洋中 脊环境, 而更可能是弧后盆地环境, 扩张速度偏 低[12]。对变玄武岩和石英(片)岩地球化学特征的 深入分析表明,该蛇绿混杂岩带可能由形成环境不 同的"碎片"组成,包括弧前扩张带、岛弧、弧后盆地 及洋岛等环境,是典型的消减带环境或称为俯冲带

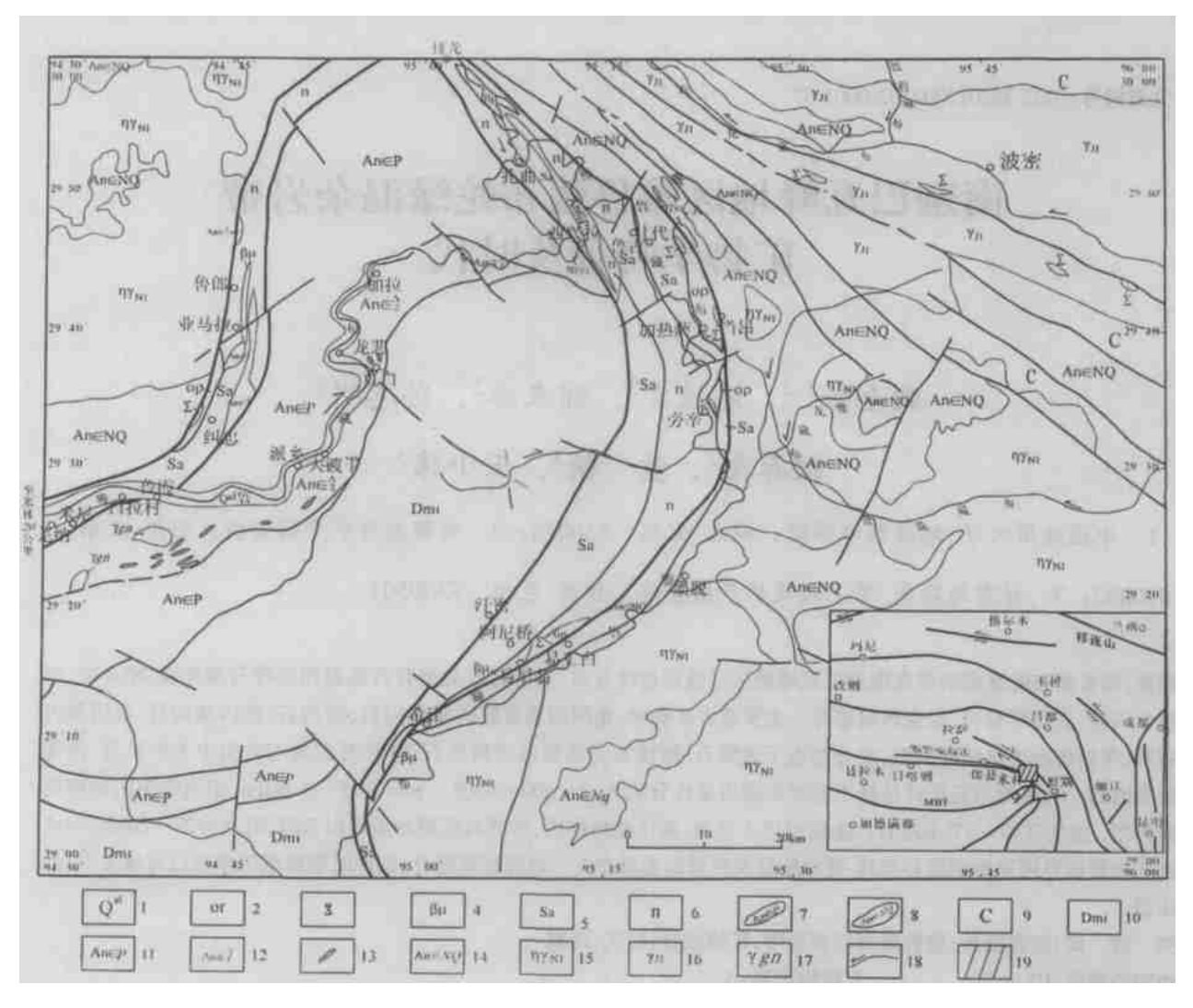


图 1 雅鲁藏布大峡谷地区地质简图

1. 第四系; 2~8. 雅鲁藏布蛇绿混杂带; 2. 蛇绿岩岩片; 3. 超镁铁岩岩块; 4. 变辉绿岩岩块; 5. 石英片岩岩片; 6. 基质部分; 7. 南迦巴瓦岩群外来岩片; 8. 念青唐古拉岩群外来岩片; 9. 石炭系; 10—13. 南迦巴瓦岩群; 10. 多雄拉混合岩; 11. 派乡岩组; 12. 直白岩组; 13. 高压麻粒岩块体; 14—16. 冈底斯带; 14. 念青唐古拉岩群 15. 中新世二长花岗岩; 16. 早侏罗世花岗岩; 17. 前寒武纪片麻状花岗岩; 18. 河流及流向; 19. 研究区位置

Fig. 1 Simplified geological map of the Yarlung Zangbo Grand Canyon area

1= Quaternary; 2 to 8= Yarlung Zangbo ophiolitic mé lange zone, 2= ophiolite slices, 3= ultramafic rocks, 4= metadiabase; 5 = quartz schist; 6= matrix; 7= allochthonous slices of the Namjagbarwa Group Complex; 8= allochthonous slices of the Nyainqentanglha Group Complex; 9= Carboniferous; 10 to 13= Namjagbarwa Group Complex; 10= Duoxiongla migmatites; 11= Paixiang Fomation Complex (marble-bearing gneiss); 12= Zhibai Fomation Complex (HPG-bearing gneiss); 13= high-pressure granulite; 14 to 16= Gang dise zone; 14= Nyainqentanglha Group Complex; 15= Miocene monzonitic granite; 16= Early Jurassic granite; 17= Precambrian gneissic granite; 18= river and its flowing direction; 19= studied area

上叠型的(SSZ)蛇绿岩<sup>[14~16]</sup>。 对混杂带内石英片岩的成分研究也得出相似结论

(3)I YS 蛇绿岩的地质年代学研究。在旁辛附近超镁铁岩块中获得一件原生辉石的 $^{40}$ A r/ $^{39}$ A r 全熔年龄和一件变玄武岩中角闪石的 $^{40}$ A r/ $^{39}$ A r 坪年龄,分别为  $200\pm4$ Ma 和  $40.14\pm1.0$ 4 Ma $^{[14.17]}$ 。

本文介绍 IYS 带主要造岩矿物的成分特征、变质温、压条件的估算及其与构造演化的关系。

## 1 区域地质背景

该区有3个主要的地质单元,即冈底斯岛弧岩 浆岩带、高喜马拉雅结晶基底"南迦巴瓦岩群", IYS 带呈弧形夹在两者之间(图1)。

南迦巴瓦岩群  $(An \in NJ)$  分布在"大拐弯"峡谷的内侧,主要由黑云斜长片麻岩、角闪斜长片麻岩等组成。根据岩石组合和变质、变形特征,将该群分成3 套岩石组合,即直白岩组、派乡岩组和多雄拉混合岩,同位素年龄值相当于中、新元古代  $^{14,13}$ 。

冈底斯岛弧带总体上由 3 部分组成: (1)前寒武系变质基底,即念青唐古拉岩群(An  $\in$  NQ); (2)变质盖层,主要为泥盆系松宗组、下石炭统诺错组、上石炭统来姑组、下二叠统洛巴堆组,中侏罗统马里组以角度不整合覆盖在在上述地层之上; (3)冈底斯岛弧带中、北侧主要出露早侏罗世一晚白垩世花岗岩类,南部出露中新世花岗岩。念青唐古拉岩群主要由一套长英质片麻岩、条带状混合岩及大理岩组成,岩石的混合岩化现象明显。这套岩石的Sm-Nd同位素年龄测试,获得年龄值2296 ±63Ma、2178 ±12Ma(排龙一通麦)和1453 ±14Ma(冈戎勒一墨脱),相当于古中元古界(甘肃区调队,1995,1 20万波密幅地质图及说明书)。

### 2 雅鲁藏布蛇绿岩带矿物学特征

#### 2.1 矿物组合

IYS 混杂带的基本成分在宏观上可分为岩片 (块)和基质两部分,基本岩石组合为各类石英片岩、绿片岩、变镁铁、超镁铁岩块、大理岩等(图 2)。最主要的造岩矿物有橄榄石、单斜辉石、角闪石、斜长石、绢云母等,其中绢云母大多为高压型的多硅白云母<sup>[15]</sup>。

IYS 带内主要岩石类型有石英岩和云母石英片岩、绿片岩、斜长角闪岩、变质辉长岩、变余辉绿岩。不同的岩石类型矿物组合不同,其中超镁铁岩岩块主要原生矿物为镁橄榄石+普通辉石+顽火辉石+斜长石(牌号在 An70 以上)+尖晶石等,变质以后的矿物组合为透辉石+蛇纹石+滑石+透闪石等。变质镁铁岩块中典型的变质矿物组合为:透辉石+角闪石(普通角闪石或阳起石)+斜长石(An20-30)+黑云母+石英土绿帘石土绿泥石;绿泥石+绿帘石+阳起石钠长石+石英;铁铝榴石+角闪石+黑云母+绿帘石+斜长石+石英。石英(片)岩类典型的矿物组合为:石英+白云母+黑云母+石榴子石+斜长石土钾长石土兰晶石;白云母+黑云母+石英+钾长石+斜长石;石英+钾长石+白云母。

#### 2.2 主要矿物成分特征

(1)橄榄石。橄榄石见干结合带东段的旁辛、加





图 2 IYS 带野外产状特征和岩石类型

A. 石英岩中的两期褶皱, 尖棱状、轴面直立, 与面理平行, 下部深色部分为变辉绿岩岩块, 摄于排龙乡东约 2km 处; B. 石英岩直立褶皱的转折端, 面理直立, 右翼深色部分为变玄武岩, 摄于排龙乡东约 3km 处

Fig. 2 Field occurrence and rock types in the Yarlung Zangbo ophiolitic mé lange zone

- A. The two-phase sharp vertical folds in quartzite. The dark rocks in the lower part are metadiabase at a distance of about 2 km east of Pailong;
- B. Vertical folds in quartzite and their hinge lines. The dark rocks on the right are metabasalt at a distance of about 3 km east of Pailong

热萨, 西段的德母拉高地见有含橄榄石的超镁铁岩。探针分析结果表明, 这些橄榄石富镁、贫铁, 其成分主要为MgO、 $SiO_2$ ,少量FeO,其余成分很少,是典型的镁橄榄石。Fo的含量在90%以上, 说明岩石来自地幔。

- (2)单斜辉石。结合带中镁铁质岩石变质较彻底,原生的辉石均变成了角闪石,未见变质残余。超镁铁质岩块中尚可见到原生辉石,是富 Mg 的单斜辉石, $Al_2O_3$  含量高达 3. 44% (表 1),其成分特征与地幔岩中的单斜辉石相似<sup>[18]</sup>。 超镁铁岩和大理岩中变质形成的单斜辉石富  $Ca_3Mg$ , $Al_2O_3$  含量低于 1.7%,成分相当干透辉石。
- (3)角闪石。在显微镜下,角闪石呈不同程度的绿色。探针结果属富 Mg 的镁角闪石、镁闪石、韭闪角闪石、浅闪角闪石等。
- (4)长石。石英片岩中的斜长石属更长石、碱性长石富K, Or 分子含量达 80%。石英片岩中的长石由变质形成。超镁铁岩中的原生长石为拉长石,角闪岩类中为中长石,是变质成因的。
- 2.3 变镁铁、超镁铁岩中主要造岩矿物及温压计算利用 IYS 带中变质镁铁、超镁铁岩块中的主要造岩矿物可以大致估算本带变质过程早期的温压环境,石英(片)岩中多硅白云母反映的低温、高压变质作用则可能是后期的变质环境。对于上述镁铁质岩块中的变质矿物组合,利用单斜辉石地质温度计,估算出原始辉石橄榄岩类的结晶温度大致为 $9500\,^{\circ}$ C。利用斜长石-角闪石、石榴子石-黑云母、二长石、斜长石以及单斜辉石地质温压计  $^{19,20}$  估算出的变质温压条件分别为:  $t=500\sim650\,^{\circ}$ C, $p=0.75\sim0.8$ GPa(表 1),相当于角闪岩相变质作用,而由多硅白云母估算的压力可能大于0.8GPa。说明晚期经历了低温、高压变质作用(图 3) $^{[15]}$ 。

#### 2.4 变质作用的时代

该区与 IYS 有关的同位素年龄值有 4 组 (表 2): 第一组200M a左右,可能代表蛇绿岩形成 (岩石结晶)的年龄,可能也是雅鲁藏布江新特提斯洋扩张规模最大的时期。第二组47~43 M a左右,代表新特提斯洋闭合的时代,之后的强烈造山作用使蛇绿岩套解体、变质变形,温压条件可能达到 t=500~650  $^{\circ}$ C,  $p=0.75\sim0.8$ GPa。第三组 27~20M a, 该区结合带边界阿尼桥断层和米林—鲁朗断层发生强烈走滑,石英(片)岩类形成糜棱岩,甚至超糜棱岩。该

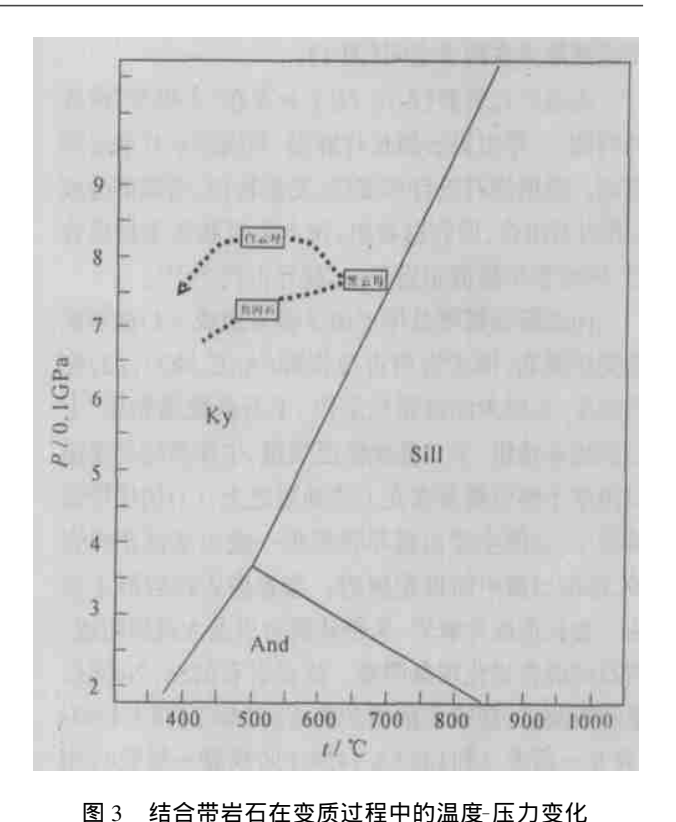


Fig. 3 Temperature pressure diagram showing the meta-

morphism processes of the rocks in the Yarlung Zangbo ophiolitic mélange zone

阶段可能代表该区 IYS 的峰值压力,以高压环境下的动力变质为主。高压、超高压型多硅白云母形成于这一阶段。第四组 12~5Ma 左右,代表退变质时期,角闪石变成绿泥石等,本期形成的多硅白云母为中、低压型。这一阶段对应地壳隆升、剥蚀作用加速的时期<sup>[19]</sup>。

## 3 结 论

雅鲁藏布蛇绿混杂带在南迦巴瓦峰地区主要岩石类型有石英岩和云母石英片岩、绿片岩、斜长角闪岩、变质辉长岩、变余辉绿岩等。主要造岩矿物角闪石属富 Mg 的镁角闪石、镁闪石、韭闪角闪石、浅闪角闪石等;单斜辉石是富 Mg 的类型,成分相当于透辉石,橄榄石是典型的镁橄榄石;斜长石在角闪岩类中为中长石,是变质成因的。利用地质温压计估算出的变质温压条件分别为:  $t=500\sim650$  °C,  $p=0.75\sim0.8$  GPa,相当于角闪岩相变质作用,发生在47~43 Ma左右。晚期经历了低温、高压变质作用,形成高压型的多硅白云母,时代为27~20 Ma,与该区结合带边界阿尼桥断层和米林-鲁朗断层发生强

表 1 主要造岩矿物电子探针测试结果(ws/%)及重要参数

|                   |                |                            |             |                        | Ta                      | Table 1 M | licroprob | e analyse     | % ( MB /%      | o) for the                 | major rock | Microprobe analyses ( $w_B/\%$ ) for the major rock-forming minerals and key parameters | ninerals    | and key         | paramet                | Sis            |                 |  |                         |
|-------------------|----------------|----------------------------|-------------|------------------------|-------------------------|-----------|-----------|---------------|----------------|----------------------------|------------|---|-------------|-----------------|------------------------|----------------|-----------------|--|-------------------------|
| 林号                | M3b-119        | M3b-121                    | 121         |                        |                         | M2b-9     |           |               | M2b-6          | M2b-4                      | p4         | M2b-2   | M3l         | M3b-187         | M3                     | M3b-150        | M3b-124         | M3b-143  | M3b-116                 |
| 米村                | <b>等</b>       | 券                          | 幸           |                        |                         |           |           | 德母拉           | 超              |                            |            |   | 甘代          | 甘代-咱布冬          | 张                      | <b>卯来-</b> 加热醋 | 多固              | 宗荣-加热萨   | 华多-寿辛                   |
| 品                 | -              |                            | 鼎           |                        | 石榴                      | 石榴长石石英片岩  | .片岩       |               | <b>教 秦 雅 骀</b> | <b>变辉橄岩</b>                | 養売         | 角闪片岩  | 数长)         | 斜长角闪岩           | 場石                     | 滑石橄辉岩          | 绿片岩             | 绿片岩  | <b>含透解石</b><br>大 理 光    |
| <b>卢</b>          | 7 (装機<br>K 機石  | <b>被</b><br>格<br>名         | 第<br>番<br>石 | <b>杂</b>               | 黑云母                     | 钾长石       | 更长石       | 更长石           | 镁橄             | 透牌石                        | 拉长石        | 镁角闪石  | 中长石         | 非闪角<br>闪 石      | 镁闪石                    | 次钙普通辉石         | <b>浅闪角</b><br>口 | 镁绿钙角闪石   | 透辉石                     |
| Na <sub>2</sub> O |                | 0.442                      | -           | 0.052                  | 0.198                   | 2.599     | 10.13     | 9.678         | 0.004          | 0.301                      | 3.208      | 1.577   | 8.26        | 1.811           | 0.304                  | 0.528          | 2.116           | 1.928  | 0.171                   |
| MgO               | 51.53          | 14.37                      | 0.05        | 4.348                  | 9.01                    | 0         | 0.015     | 0             | 51.08          | 16.54                      | 0.004      | 13.82   | 0.015       | 8.995           | 20.89                  | 19.81          | 9.029           | 9.727  | 17.97                   |
| $Al_2O_3$         | 3 0.025        | 1.381                      | 30.112      | 22.271                 | 17.701                  | 19.138    | 23.75     | 23.313        | 0.0285         | 0.722                      | 31.521     | 10.767  | 24.48       | 13.81           | 2.096                  | 3.444          | 12.823          | 15.157   | 1.7                     |
| SiO <sub>2</sub>  | 2 40.269       | 53.442                     |             | 36.779                 | 34.229                  | 63.915    | 59.451    | 62.574        | 40.946         | 53.531                     | 50.417     | 45.337  | 61.006      | 42.063          | 55.171                 | 54.889         | 42.631          | 43.658   | 54.706                  |
| $K_2O$            |                | 0.015                      | 0.001       | 0                      | 9.498                   | 14        | 0.296     | 0.347         | 0              | 0.014                      | 0.148      | 0.042   | 0.067       | 0.219           | 0.004                  | 0.018          | 0.388           | 0.282  | 0.018                   |
| S                 | _              | 23.124                     | 22.614      | 2.644                  | 0.058                   | 0.115     | 3.616     | 4.375         | 0.03           | 23.885                     | 13.805     | 11.824  | 6.586       | 10.739          | 5.714                  | 6.607          | 986.6           | 10.379   | 24.59                   |
| TiO               |                | 0.077                      | 0.117       | 0.064                  | 4.012                   | 0.078     | 0         | 0.182         | 0.062          | 0.075                      | 0.007      | 0.109   | 0.03        | 0.882           | 0.129                  | 0.098          | 0.532           | 0.396  | 0.034                   |
| $C_{r_2}O_{r_2}$  | _              | 0                          | 0.011       | 0.254                  | 0.033                   | 0.252     | 0         | 0             | 0.011          | 0.429                      | 0.051      | 0.265   | 0.056       | 0.135           | 0.287                  | 0.616          | 0.127           | 0.035  | 0.057                   |
| WnO (             |                | 0.151                      | 0.068       | 0.563                  | 0.068                   | 0.069     | 0         | 0.014         | 0.142          | 0.971                      | 0.426      | 0.098   | 0.07        | 0.467           | 0.618                  | 0.297          | 0.302           | 0.192  | 0.013                   |
| TFeO              |                | 5.574                      | 6.027       | 31.62                  | 18.43                   | 0.081     | 0         | 0.221         | 7.343          | 3.151                      | 0.105      | 10.08   | 0.117       | 15.69           | 10.6                   | 6.773          | 16.38           | 14.24  | 0.843                   |
| Q I               |                | 0.042                      | 0.383       | 0.117                  | 0.1                     | 0         | 0.019     | 0.089         | 0.379          | 0                          | 0.117      | 0.1   | 0.02        | 0.021           | 0.284                  | 0.262          | 0.112           | 0.064  | 0.044                   |
| 向                 | +              | 98.614                     | 98.43       | 98.71                  | 93.334                  | 100.25    | 97.279    | 100.79        | 100.03         | 99.618                     | 608.66     | 94.022  | 100.71      | 94.832          | 96.093                 | 96.345         | 94.424          | 96.061   | 100.15                  |
| z<br>Z            |                | 0.032                      | 0.002       | 0.008                  | 90.0                    | 0.232     | 0.899     | 0.828         | 0              | 0.021                      | 0.284      | 0.458   | 0.709       | 0.537           | 0.084                  | 0.038          | 0.631           | 0.556  | 0.012                   |
| ,<br>M            |                | 0.798                      | 900.0       | 0.519                  | 2.093                   | 0         | 0.001     | 0             | 1.848          | 0.907                      |            | 3.084   | 0.001       | 2.050           | 4.426                  | 1.085          | 2.071           | 2.157  | 0.964                   |
| ¥.d               |                | 0.061                      | 2.642       | 2.104                  | 3.253                   | 1.038     | 1.281     | 1.213         | 0.001          | 0.031                      | 1.696      | 1.900   | 1.277       | 2.490           | 0.351                  | 0.149          | 2.327           | 2.659  | 0.072                   |
| S.                | <u>.</u>       | 1.993                      | 2.906       | 2.949                  | 5.338                   | 2.943     | 2.721     | 2.763         | 0.994          | 1.971                      | 2.303      | 6.790   | 2.701       | 6.436           | 7.847                  | 2.018          | 995.9           | 6.499  | 1.971                   |
| Υ΄                |                | 0.001                      | 0           | 0                      | 1.889                   | 0.822     | 0.017     | 0.02          | 0              | 0.001                      | 0.00       | 0.008   | 0.004       | 0.043           | 0.001                  | 0.001          | 0.076           | 0.054  | 0.001                   |
|                   | 0.001          | 0.924                      | 1.803       | 0.227                  | 0.01                    | 90.0      | 0.177     | 0.207         | 0.001          | 0.942                      | 0.675      | 1.897   | 0.312       | 1.760           | 0.870                  | 0.378          | 1.647           | 1.655  | 0.949                   |
| Fe <sup>3</sup> + |                | 0                          | 0           |                        | _<br>o                  | 0         |           |               |                |                            |            | 1.260   |             | 1.483           |                        | 1.642          | 1.281           |  |                         |
| Fe <sup>2</sup>   | 0.136          | 0.174                      | 0.375       | 2.117                  | 2.399                   | 0.003     |           | 0.008         | 0.149          | 0.097                      | 0.004      | 0   | 0.04        | 0.521           | 1.258                  | 0.208          | 0.464           | 0.489  | 0.025                   |
|                   | Fo=93          | MgSiO <sub>3</sub><br>= 42 |             |                        | AJ <sup>IV</sup> = 2.66 | Or = 80   | An=16     | $A_n = 20$    | Fo=93          | MgSiO <sub>3</sub><br>= 47 | An = 70.4  | $AJ^{IV} = 1.21$  | An = 31     | $AI^{W} = 1.56$ | Al <sup>N</sup> = 0.15 | $MgSiO_3 = 65$ | $Al^{IV}=1.43$  | $AI^{IV} = 1.5$  | $M_gSiO_3 = 50$         |
| 重 参<br>要 赘        | 序<br>天<br>下a=7 | CaSiO <sub>3</sub><br>= 49 |             |                        | $AJ^{\text{M}} = 0.593$ | Ab= 20    | Ab=84     | Ab = 80       | Fa=7           | CaSiO <sub>3</sub><br>= 48 | Ab=29.6    | $AI^{W} = 0.69$ Ab = 69   | Ab = 69     | $Al^{W} = 0.93$ | AI" = 0.2              | $CaSiO_3 = 23$ |                 | $AI^{\eta} = 0.897 \ AI^{\eta} = 1.159 \ CaSiO_3 = 49$ | CaSiO <sub>3</sub> = 49 |
|                   |                | FeSiO <sub>3</sub><br>= 9  |             |                        |                         |           |           |               |                | FeSiO <sub>3</sub> = 5     |            |   |             |                 |                        | $FeSiO_3 = 12$ |                 |  | FeSiO <sub>3</sub> = 1  |
|                   | t 947°C        |                            |             | 259                    |                         | 500C      | \$10C     |               | 949C           | 225C                       |            |   | S2SC        |                 |                        |                |                 |  |                         |
| 祖田:               | þ              |                            |             | 0.8GPa(图解<br>758GPa(计算 | a(图解)<br>i(计算)          |           |           |               |                |                            |            |   |             | 0.75<br>GPa     |                        |                |                 |  |                         |
| <del>- </del>     |                | 单斜辉石                       |             | 石榴子                    | 石榴子石-黑                  |           |           | 斜长石           |                | 单斜辉石                       |            |   | <b>珍</b> 木石 | 角闪石<br>斜长石      |                        |                | :               |  |                         |
| $\dashv$          |                |                            |             | 1                      |                         |           |           | (B) (A) (1)   |                | (A) (A)                    |            |   |             | 温压计             |                        |                |                 |  |                         |
| ٥                 | 111111111111   |                            | 1           | 64144                  | The cook of             | *11       | 1         | C 01 41 10 10 | 200            |                            |            |   |             |                 |                        |                |                 |  |                         |

电子探针测试单位:成都地质矿产研究所,2000年;矿物温、压计算见参考文献[18.19]

M-22-2

M-61-4

M-73-1

M-75-2

M - 84 - 4

|                   | Table 2 Isotopic ages o | f the rocks as | sociated with the                   | Yarlung Zangbo | ophiolitic né lange zone |      |
|-------------------|-------------------------|----------------|-------------------------------------|----------------|--------------------------|------|
| 样品号               | 岩性                      | 采样位置           | 方 法                                 | 年龄/Ma          | 资料来源                     | 测试对象 |
| N025              | 二云母片岩                   | 鲁霞江对岸          | K/Ar                                | 218. 63±3. 63  | 章振根等 1992                | 角闪石  |
| M 3X T-4          | 橄榄辉石岩                   | 旁 辛            | <sup>40</sup> A v∕ <sup>39</sup> Ar | 200±4          | 本项目                      | 单斜辉石 |
| N018              | 斜长角闪岩                   | 马尼翁            | K/Ar                                | 141.7±2.46     | 章振根等, 1992               | 长石   |
| N018              | 斜长角闪岩                   | 马尼翁            | K/Ar                                | 46. 63±1. 02   | 章振根等 1992                | 黑云母  |
| $M_{V}(01)$ T-109 | 含方柱石斜长角闪岩               | 米尼村            | <sup>40</sup> A v′ <sup>39</sup> Ar | 42. 67±2. 54   | 本项目                      | 角闪石  |
|                   | 1                       | I              |                                     |                |                          |      |

## 表 2 研究区与结合带有关的同位素年龄

K/Ar

K/Ar

K/Ar

K/Ar

K/Ar

K/Ar

烈走滑有关。地壳加速降升、剥蚀时期形成的多硅 白云母为中、低压型[15]。

角闪石黑云母片麻岩

云母石英片岩

黑云母片麻岩

白云母石英片岩

黑云母石英片岩

黑云母片岩

马尼翁

各 登

加热萨

鲁古

八玉

扎 曲

#### 参考文献:

- 丁林, 钟大赉, 潘裕生, 等. 喜马拉雅东 构造结上 新世以来 快速 抬升的裂变径迹证据[]]. 科学通报, 1995, 40(16): 1497-
- [2] 钟大赉,丁林.青藏高原的隆起过程及其机制探讨[3].中国科 学(D辑), 1996, 26(4): 289-295.
- [3] 刘焰, 钟大赉. 东喜马拉雅地区高压 麻粒岩岩石 学研究及 构造 意义[』]. 地质科学, 1998, 33(3): 267-281.
- BURG JP, DAVYP, NIEVERGELTP et al. Exhumation during crustal folding in the Namche-Barwa syntaxis [ J] . Terra Nova. 1997, 9(2): 53-56.
- BURG JP, DAVY P, NIEVERGELT P, OBERLI F, SE-[5] WARD D, DIAO Z, MEIER M. Exhumation during crustal folding in the Namche Barwa syntaxis [ J] . Terra Nova, 1997, 9 (2). 53-56.
- DING L, ZHONG D, YIN A, et al. Cenozoic structural and [6] metamorphic evolution of the eastern Himalayan syntaxis (Namche Barwa) [ J]. Earth and Planetary Science Letters, 2001, 192: 423-438.
- 丁林, 钟大赉, 西藏南迦巴瓦峰地区 高压麻粒岩 相变质作 用特 征极其构造地质意义[J].中国科学(D辑),1999,29(5);385-397.
- 王二七, B. C. Burch fiel, 季建清. 东喜马拉雅构造结新生代地壳 [8] 缩短量的估算及其地质依据[J].中国科学(D辑),2001,31

(1): 1-9.

26.5

19.87

12.3

10.0

7 4

4.9

[9] 郑锡澜, 常承法. 雅鲁藏布 江下游地区地质构 造特征[1]. 地质 科学, 1979, (2): 116-125.

郑锡澜、常承法 1979

甘肃区调队 1995

郑锡澜、常承法 1979

郑锡澜、常承法 1979

郑锡澜、常承法 1979

郑锡澜、常承法 1979

- [10] 张旗、张振禹、李 华、西藏东部和南部变质岩中的白云母及 其岩石学意义[J]. 地质科学, 1980, (4): 340-347.
- [11] 章振根 刘玉海, 王天武, 等. 南迦巴瓦峰地区地质[M]. 北京: 科学出版社, 1992. 106-117.
- [12] 耿全如, 潘桂棠, 刘宇平, 等. 雅鲁藏布大峡谷地区蛇绿混杂 岩带初步研究[M]. 沉积与特提斯地质, 2000. 20(1): 28-43.
- [ 13] GENG Q, PANG, LIU Y et al. Preliminary study on the ophiolitic mélange in the Yalu Tsangpu grand canyon area [ J. 地学 前缘,2000,7(增刊):53-54.
- [ 14] 耿全如,潘桂棠,郑来林,等.藏东南雅鲁藏布江蛇绿混杂带 的物质组成及形成环境[]]. 地质科学, 2004, 39(3): 1-19.
- [15] 耿全如,潘桂棠,郑来林,等.南迦巴瓦峰地区雅鲁藏布构造 带中石英(片)岩的岩石化学特征及变质条件探讨[』. 矿物岩 石, 2004, 24(1): 76-82.
- 郑来林,耿全如,欧春生,等.藏东南迦巴瓦地区雅鲁藏布江 [16] 蛇绿混杂岩中玻安岩的地球化学特征和意义[J].地质通报, 2003, 22(10-11); 18-21.
- [17] 任纪舜, 肖黎薇. 1:25 万地质填图进一步揭示开了青藏高原 大地构造的神秘面纱[ J]. 2004, 23(1): 1-11.
- 靳是琴 李鸿超. 成因矿物学概论(下册)[ M] . 长春: 吉林大学 [ 18] 出版社 1986.
- 靳是琴 李鸿超. 成因矿物学概论(上册)[M]. 长春: 吉林大学 [ 19] 出版社 1984.
- [20] HOLDAWAY M J. Application of new experimental and gamet margules data to the garnet-biotite geothermometer [ J] . American Mineralogist, 2000, 85: 881-892.

# The mineralogy and ages of the Yarlung Zangbo ophiolitic mélange zone in the Namjagbarwa area, Xizang

GENG Quan-ru<sup>1, 2</sup>, PAN Gui-tang<sup>2</sup>, ZHENG Lai-lin<sup>2</sup>, SUN Zhi-ming<sup>2</sup>, OU Chun-sheng<sup>3</sup>, DONG Han<sup>3</sup>, WANG Xiao-wei<sup>3</sup>

(1. China University of Geosciences, Wuhan 430074, Hubei, China; 2. Chengdu Institute of Geology and Mineral Resources, Chengdu 610082, Sichuan, China; 3. Gansu Bureau of Geology and Mineral Resources, Lanzhou 730050, Gansu, China)

Abstract: The Yarlung Zangbo ophiolitic mélange zone is aligned as an arc along the Yarlung Zangbo Grand Canyon in the Namjagbarwa area, Xizang. The lithologies there consist mainly of quartizite, mica quartz schist, green schist, amphibolite, metagabbro and blastodiabase. The major rock-forming minerals are composed of:

(1) amphibole including Mg-rich magnesio-amphibole, magnesio-cummingtonite, pargasite and edenite; (2) clinopyroxene including Mg-rich species corresponding to diopside in composition; (3) olivine including representative forsterite, and (4) plagioclase dominated by andesine of metamorphic origin in amphibolites. The temperatures and pressures for the metamorphism processes estimated from the geothermometer and geobarometer are: t=500−650 °C and p=0.75−0.8 Gp, corresponding to those for the amphibolite facies dated back to ca. 47−43 M a. The later low-temperature and high-pressure metamorphism resulted in the formation of the high pressure-type lepidomorphite dated back to ca. 27−20 M a. relative to the intense strike-slipping of the Aniqiao fault and M ainling-Lunang fault at the boundary of the Yarlung Zangbo ophiolitic mélange zone. The rapid uplifting and erosion of the crust in the study area permitted the formation of lepidomorphite of medium- to low-pressure types.

Key words: Nam jagbarwa; Yarlung Zangbo ophiolitic mélange zone; mineral composition; times; Xizang